

О КИНЕТИКЕ ПРОЦЕССОВ ОРИЕНТАЦИОННОГО УПРОЧНЕНИЯ И РАЗРУШЕНИЯ ПОЛИМЕРОВ

Савицкий А. В., Петров В. А.

Известно, что в процессе ориентационного вытягивания происходят сложные изменения в структуре полимера [1, 2], приводящие в итоге к улучшению укладки держащих цепей [3] и возрастанию прочности образца. Выполнен ряд работ, посвященных выяснению закономерностей процесса упрочнения [4, 5] и раскрытию механизма этого явления с использованием параметров полимерных цепей [6]. Наименее изучен вопрос о пределах возможного упрочнения данного полимера.

В настоящей работе предпринята попытка на основе кинетического подхода к процессам упрочнения и разрушения полимера количественно описать их общие закономерности.

Рассматривается следующая модель. Элементарным актом процесса деформирования является переход некоторого исходного элемента структуры в ориентированное состояние, осуществляется посредством тепло-

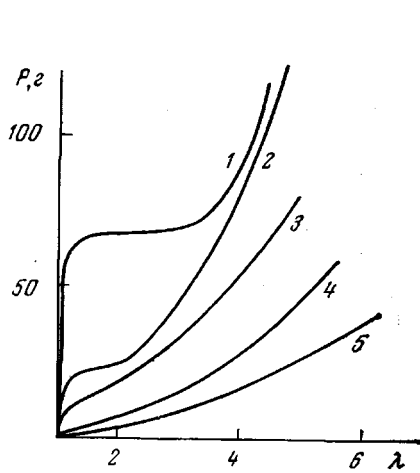


Рис. 1

Рис. 1. Кривые растяжения капроновых волокон при -15 (1), 20 (2), 100 (3), 170 (4), 200° (5); P — нагрузка

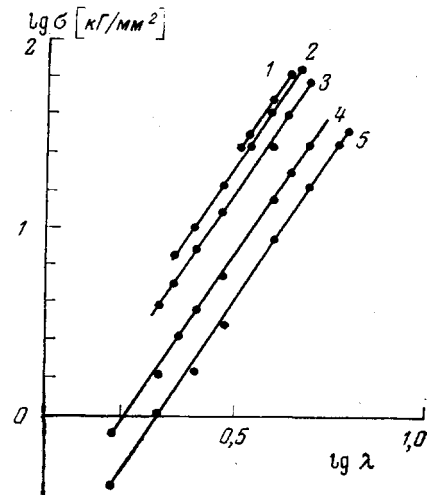


Рис. 2

Рис. 2. Кривые растяжения капроновых волокон рис. 1 в двойных логарифмических координатах для $\lambda > 2$; $\sigma = P\lambda/S_0$. Сечение $S_0 = 7,7 \cdot 10^{-3} \text{ mm}^2$

вых флюктуаций. Из спектра переходов (разрушение исходной кристаллической структуры, гош-транс-переход и пр.) учтем один — лимитирующий скорость деформирования. Им, по-видимому, является конформационный гош-транс-переход полимерной цепи. Для случая одинаковых элементов кинетика переходов, обусловленная статистикой флюктуаций, описывается уравнением вида

$$\dot{d} = (d_m - d)/\theta(d), \quad (1)$$

где d_m и d — концентрации исходных и деформированных элементов соответственно, точка означает дифференцирование по времени, $\theta(d)$ — среднее время ожидания перехода. Согласно теории термофлюктуационных процессов (см., например, [7]),

$$\theta = \theta_0 \exp \frac{E - \alpha \sigma}{RT}, \quad (2)$$

где θ_0 , E и α — параметры, причем величина α — структурно-чувствительна, т. е. $\alpha=\alpha(d)$, T — абсолютная температура, R — газовая константа, σ — деформирующее напряжение. Общая деформация образца пропорциональна числу переходов

$$\lambda = \lambda_1 d, \quad (3)$$

где $\lambda \geq 1$ — кратность вытяжки (отношение конечной длины элемента образца к ее начальной величине), λ_1 — средняя по ансамблю кратность вытяжки, отвечающая одному переходу. Рассмотрим типичное ориентационное вытягивание с постоянной скоростью деформирования

$$\dot{\lambda} = \text{const} \quad (4)$$

Предположим, что заметного истощения ансамбля исходных элементов не происходит, так что $d_m \gg d$. Тогда, объединяя выражения (1)–(4) и разрешая относительно σ , получим следующее уравнение деформирования:

$$\sigma = \frac{1}{\alpha(d)} \left(E - RT \ln \frac{\lambda_1 d_m}{\theta_0 \dot{\lambda}} \right) \quad (5)$$

Выясним зависимость $\alpha(d)$, построив эмпирическую кривую растяжения $P(\lambda)$ для капроновых моноволокон (рис. 1) в двойных логарифмиче-

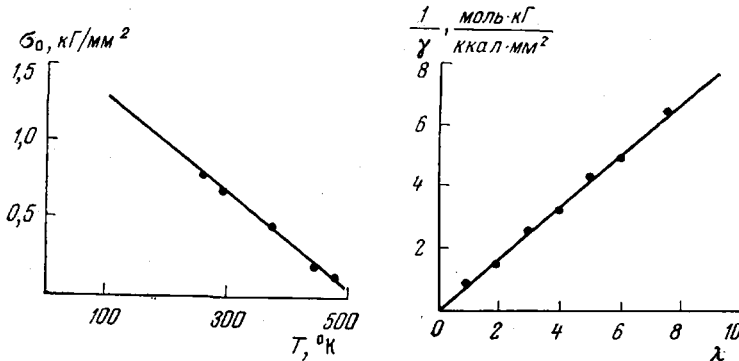


Рис. 3

Рис. 3. Температурная зависимость напряжения $\sigma_0 = \sigma/\lambda^3$, полученная из кривых растяжения капроновых волокон

Рис. 4

Рис. 4. Зависимость $\gamma^{-1}(\lambda)$ для капронового волокна при разных температурах вытяжения в интервале -15 – $+230^\circ$ [4]

ских координатах. Из этого построения, осуществленного на рис. 2, следует, что в интервале от $\lambda \approx 2$ до предельных значений

$$\sigma = \sigma_0(T) \lambda^n \quad (n=3) \quad (6)$$

Зависимость (6) не выполняется на начальных стадиях вытягивания, где при температуре ниже 170° заметно прохождение в образце «шейки» с проявлением площадки текучести. Величина напряжения текучести зависит от степени кристалличности образцов и связана с разрушением исходной кристаллической структуры.

Уравнение для кривой деформирования (5) принимает вид (6) при

$$\alpha = \alpha_0 / \lambda^3 \quad (7)$$

$$\sigma_0(T) = \frac{1}{\alpha_0} \left(E - RT \ln \frac{\lambda_1 d_m}{\theta_0 \dot{\lambda}} \right) \quad (8)$$

Расчетный температурный ход $\sigma_0(T)$ уравнения (8) подтвержден рис. 3; экспериментальные значения величины σ/λ^3 линейно убывают с ростом температуры.

Учтем влияние на ориентацию разрыва образца. Согласно кинетической концепции прочности [8], общее выражение для разрывного напряжения σ_f имеет вид

$$\sigma_f = \frac{1}{\gamma} \left(U_0 - RT \ln \frac{\tau_e}{\tau_0} \right), \quad (9)$$

где U_0 — начальная энергия активации процесса разрушения, $\tau_0 \sim 10^{-13}$ сек., τ_e — эффективное время действия нагрузки *, γ — структурно-чувствительный параметр, причем для рассматриваемого случая каприона экспериментально установлено (рис. 4), что

$$\gamma = \gamma_0 / \lambda \quad (\gamma_0 = 1,17 \text{ ккал} \cdot \text{мм}^2 / \text{моль} \cdot \text{КГ}) \quad (10)$$

Величину вытяжки в момент разрыва λ_f найдем из равенства деформирующего напряжения (6), (7) и разрывного (9) с учетом выражения (10). Это дает следующее выражение для λ_f :

$$\lambda_f = \sqrt{\frac{\sigma}{\sigma_0}} = \sqrt{\frac{\frac{1}{\gamma_0} \left(U_0 - RT \ln \frac{\tau_e}{\tau_0} \right)}{\frac{1}{\alpha_0} \left(E - RT \ln \frac{\lambda_f d_m}{\theta_0 \lambda} \right)}} \quad (\sigma = \sigma_f / \lambda) \quad (11)$$

Знание величины $\sigma_0(T)$ из кривой деформирования (рис. 3) и параметров разрушения в уравнениях (9), (10) позволяет рассчитать температурную зависимость λ_f . Результаты такого расчета для каприона приведены на рис. 5, где также представлены экспериментальные значения λ_f .

Видно, что обнаруживается хорошее согласие теории с опытом. При расчете было положено $U_0 = 41 \text{ ккал/моль}$ [9]. Значение свободного параметра $\tau_0 = 10^3$ сек. Расчетная зависимость λ_f , как это видно из рис. 5, хорошо совпадающая с опытом в широкой области умеренных температур, испытывает, однако, отклонения в области низких ($< 20^\circ$) и высоких температур ($> 210^\circ$). Отклонения при низких температурах обусловлены тем, что в расчете не учитывалось влияние прочности исходной надмолекулярной структуры, которая при $T \leq T_c$ становится сравнимой с прочностью образца. В области высоких температур ($T \sim T_{\text{пл}}$), по-видимому, сказывается термодеструкция полимера.

Отметим, что положенная в основу расчета модель похожа на рассмотренную в [5]. Однако нами в явном виде учтен термофлуктуационный характер кинетики структурных превращений, в результате чего ока-

* Величина τ_e оценивается из условия $\int_0^{\tau_e} dt / \tau(t) = 1$, где τ — статическая долговечность. Это дает $\tau_e \approx RT / 2\tau_* \sigma_0 \lambda^2$, где $\tau_* = \int_0^{\tau_e} t e^{t^2} dt / \int_0^{\tau_e} e^{t^2} dt$.

залось возможным определить температурную зависимость разрывной вытяжки λ_f .

Полученные результаты позволяют сделать следующие выводы.

Закономерности ориентационной вытяжки полимеров определяются кинетическим процессом перестройки элементов структуры. Линейность зависимостей $\lg \sigma$ от $\lg \lambda$ (рис. 2) вплоть до разрыва показывает, что общее число таких элементов достаточно велико, так что достигаемые кратности вытяжки много меньше максимальных.

При вытягивании полимера уменьшаются активационный объем процесса ориентирования α (уравнение (7)) и структурно-чувствительный коэффициент γ кинетического уравнения прочности Журкова (10).

Процесс ориентационного упрочнения прекращается не из-за истощения числа элементов, способных к перестройке, а в результате развития в полимере на последних стадиях вытягивания кинетического процесса разрушения.

Физико-технический институт
им. А. Ф. Иоффе АН СССР

Поступила в редакцию
5 VIII 1977

ЛИТЕРАТУРА

1. A. Peterlin, Advances Polymer Science and Proc. Symposium Rutgers Univ., 1972, New York – London, 1972, p. 1.
2. В. А. Марухин, Л. П. Мясникова, Н. Л. Викторова, Высокомолек. соед., A18, 1302, 1976.
3. В. И. Веттегренъ, А. В. Савицкий, Высокомолек. соед., B19, 186, 1977.
4. А. В. Савицкий, Б. Я. Левин, В. П. Демичева, Высокомолек. соед., A15, 1286, 1973.
5. В. А. Берестнев, Р. В. Торнер, В. А. Каргин, Механика полимеров, 1970, 848.
6. С. Н. Журков, И. И. Новак, Б. Я. Левин, А. В. Савицкий, В. И. Веттегренъ, Высокомолек. соед., 7, 1203, 1965.
7. В. Р. Регель, А. И. Слуцкер, Э. Е. Томашевский, Кинетическая природа прочности твердых тел, «Наука», 1974.
8. С. Н. Журков, Вестник АН СССР, 1968, № 3, 46.
9. А. В. Савицкий, В. А. Мальчевский, Т. П. Санфирова, Л. П. Зосин, Высокомолек. соед., A16, 2130, 1974.

УДК 541.64:546.26-162

ВЛИЯНИЕ ГРАФИТА НА ТЕРМИЧЕСКИЕ СВОЙСТВА АРОМАТИЧЕСКИХ ПОЛИАМИДОВ

Коршак В. В., Грибова И. А., Некрасов Ю. С.,
Павлова С.-С. А., Грибкова П. Н., Аветисян Ю. Л.,
Серов И. К.

При переработке и эксплуатации полимерные материалы подвергаются воздействию различных разрушающих факторов, в том числе высокой температуры и кислорода, что приводит к сокращению сроков их службы. При этом немаловажное влияние на поведение полимерных материалов при повышенных температурах может оказывать наполнитель.

В связи с этим для создания полимерных материалов, обеспечивающих длительные сроки их эксплуатации, большое значение имеют исследование термических свойств наполненных полимерных систем и выявление влияния наполнителя на термическую устойчивость полимерного связующего.